

Измерения скорости и направления ветра с помощью двухлучевого метода доплеровским лидаром *Stream Line* в приземном слое атмосферы

В.А. Банах, И.Н. Смалихо, А.В. Фалиц, Е.В. Гордеев, А.А. Сухарев*

Институт оптики атмосферы им. В.Е. Зуева СО РАН
634055, г. Томск, пл. Академика Зуева, 1

Поступила в редакцию 17.02.2017 г.

Проведено экспериментальное сравнение оценок скорости и направления ветра, получаемых из измерений радиальной скорости импульсным когерентным доплеровским лидаром с помощью двухлучевого метода и метода конического сканирования. Полученные результаты измерений сравниваются с данными точечного измерителя вектора скорости ветра – акустической метеостанции.

Ключевые слова: когерентный доплеровский лидар, акустический анемометр, ветер, двухлучевой метод; coherent Doppler lidar, sonic anemometer, wind, duo-beam method.

Введение

Когерентные доплеровские ветровые лидары – эффективный инструмент для получения информации о динамике воздушных масс в атмосфере Земли [1]. Сканирование зондирующими пучком позволяет из измерений радиальной скорости когерентными ветровыми лидарами восстанавливать высотные профили скорости и направления ветра, получать оценки параметров ветровой турбулентности [2–9], атмосферных гравитационных волн [10], самолетных вихрей и ветровых шлейфов за ветровыми турбинами [11–14].

Как правило, при изучении движения воздушных масс в атмосфере с помощью импульсных когерентных доплеровских лидаров используется коническое сканирование зондирующим пучком вокруг вертикальной оси, при этом угол места ϕ направления зондирования (образующий конус) не должен превышать 60° [1–4], так как при значениях ϕ , стремящихся к 90° , ошибка восстановления скорости горизонтального ветра неограниченно возрастает. Выбор угла места при задании геометрии измерений определяет высоту профиля ветра и возможность осуществления полного конического сканирования в диапазоне углов от 0 до 360° .

Особенностью импульсных когерентных доплеровских лидаров является наличие так называемой

«мертвой» зоны, т.е. минимального расстояния от лидара вдоль зондирующего луча, начиная с которого можно измерять скорость ветра. По этой причине при оптимальных для зондирования углах места (от 45 до 60°) оценить вектор скорости ветра в приповерхностном слое атмосфере с помощью доплеровского лидара невозможно. Стратегия измерения, при которой коническое сканирование осуществляется последовательно при малых и больших значениях угла места, не всегда реализуема. Особенности рельефа в месте проведения измерений, близстоящие высокие деревья и строения могут не позволить провести полное сканирование зондирующим лучом. Поэтому для измерений ветра вблизи подстилающей поверхности нужно применять другие геометрии сканирования, например двухлучевой метод.

В [6] этот метод использовался для оценки профилей скорости и направления ветра из данных импульсного когерентного доплеровского лидара на горизонтальной трассе над руслом реки в черте большого города. Полученные оценки после 30-минутного усреднения сопоставлялись с данными акустической метеостанции, расположенной на берегу на той же высоте, что и лидарная трасса. Обнаружена хорошая корреляция (коэффициент корреляции 0,85) найденных с помощью двухлучевого метода значений скорости и направления ветрового потока для участка трассы, на котором расположена метеостанция, с ее данными. Это подтверждает возможность использования двухлучевого метода для получения оценок скорости и направления ветра из измерений импульсным ветровым лидаром при малых углах места и на горизонтальных трассах.

* Виктор Арсентьевич Банах (banakh@iao.ru); Игорь Николаевич Смалихо (smalikho@iao.ru); Андрей Вячеславович Фалиц (falits@iao.ru); Евгений Викторович Гордеев (gordeev@iao.ru); Артем Андреевич Сухарев (sukharev@iao.ru).

В работе представлены результаты сравнения скорости и направления ветра, получаемых из данных доплеровского лидара при использовании двухлучевого метода и метода конического сканирования и различных временах усреднения. Измерения выполнялись с помощью импульсного когерентного доплеровского ветрового лидара Stream Line (HALO Photonics, Великобритания); результаты лидарных измерений сравниваются с данными метеостанции АМК-03 («Сибаналитприбор», Россия).

1. Методика экспериментальных измерений

Измерения проводились в июне 2016 г. на территории Базового экспериментального комплекса Института оптики атмосферы им. В.Е. Зуева СО РАН. Лидар Stream Line был установлен в центральной части комплекса. Основные характеристики доплеровского лидара даны в [4].

С помощью программного обеспечения лидара последовательно измерялись радиальные скорости $V_r(R, \theta, \phi)$ (где R – расстояние от лидара до центра объема зондирования, θ – азимутальный угол, ϕ – угол места) при коническом сканировании зондирующими лучом вокруг вертикальной оси и вдоль двух фиксированных направлений луча при заданных значениях азимутального угла θ . Угол места ϕ для всего цикла измерений был неизменным и равным 12° .

Одновременно с работой лидара измерения скорости и направления горизонтального ветра проводились с помощью метеостанции АМК-03. Метеостанция на выносной штанге была закреплена на вышке оператора сотовой связи, на высоте 38 м от поверхности земли. Регистрация значений скорости ветра осуществлялась с частотой 80 Гц. Из полученных данных рассчитывались средние значения для временных интервалов усреднения 18,3 с; 2 и 10 мин. На рис. 1 показана геометрия измерения вектора скорости ветра во время эксперимента.

Процедура измерений массивов радиальных скоростей $V_r(R, \theta, \phi)$ схематично представлена на рис. 2. Измерение радиальных скоростей при коническом сканировании выполнялось для 72 дискретных значений азимутального угла с шагом 5° . Оценка радиальной скорости $V_r(R, \theta, \phi)$ вдоль фиксированного направления осуществлялась за 1 с. Это соответствует аккумуляции 15000 эхосигналов зондирующего импульса лидара. Полный оборот сканера вокруг вертикальной оси занимал примерно 3,3 мин. Для каждого полного сканирования из измеренных оценок радиальных скоростей $V_r(R, \theta, \phi)$ рассчитывался высотный профиль скорости $U(h)$ и углов направления $\phi(h)$ ветра на высотах $h = R \sin \phi$ с использованием метода фильтрованной синусоидальной подгонки [2].

При двухлучевом методе измерения радиальных скоростей $V_r(R, \theta, \phi)$ выполнялись последовательно

для двух положений зондирующего пучка A и B (рис. 1) при значениях азимутальных углов $\theta_A = 150^\circ$ и $\theta_B = 170^\circ$, отсчитываемых относительно направления на север. Время оценки радиальных скоростей лидаром вдоль заданного направления составляло также 1 с. При этом измерения проводились последовательно для 15 пар положений зондирующего луча, что требовало примерно 1,76 мин (рис. 2).

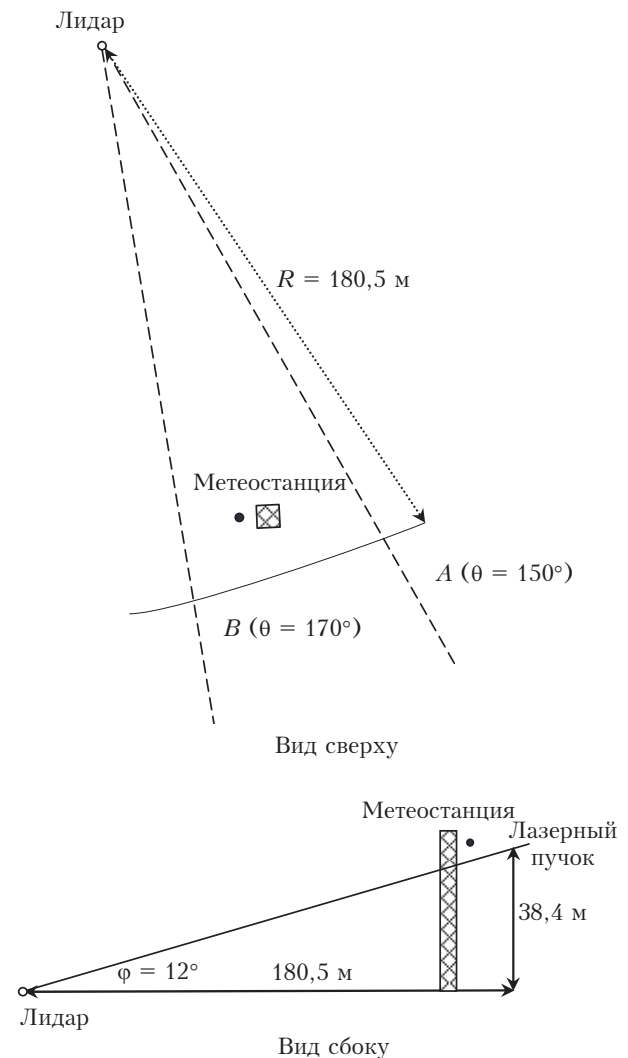


Рис. 1. Геометрия экспериментальных измерений скорости и направления ветрового потока

Значения оценок радиальных скоростей вдоль заданного направления использовались для расчета средних значений компонент V_A и V_B на соответствующих высотах:

$$V_A(h) = \frac{1}{M} \sum_{m=1}^M V_{r_m}(R, \theta_A, \phi), \quad (1)$$

$$V_B(h) = \frac{1}{M} \sum_{m=1}^M V_{r_m}(R, \theta_B, \phi). \quad (2)$$

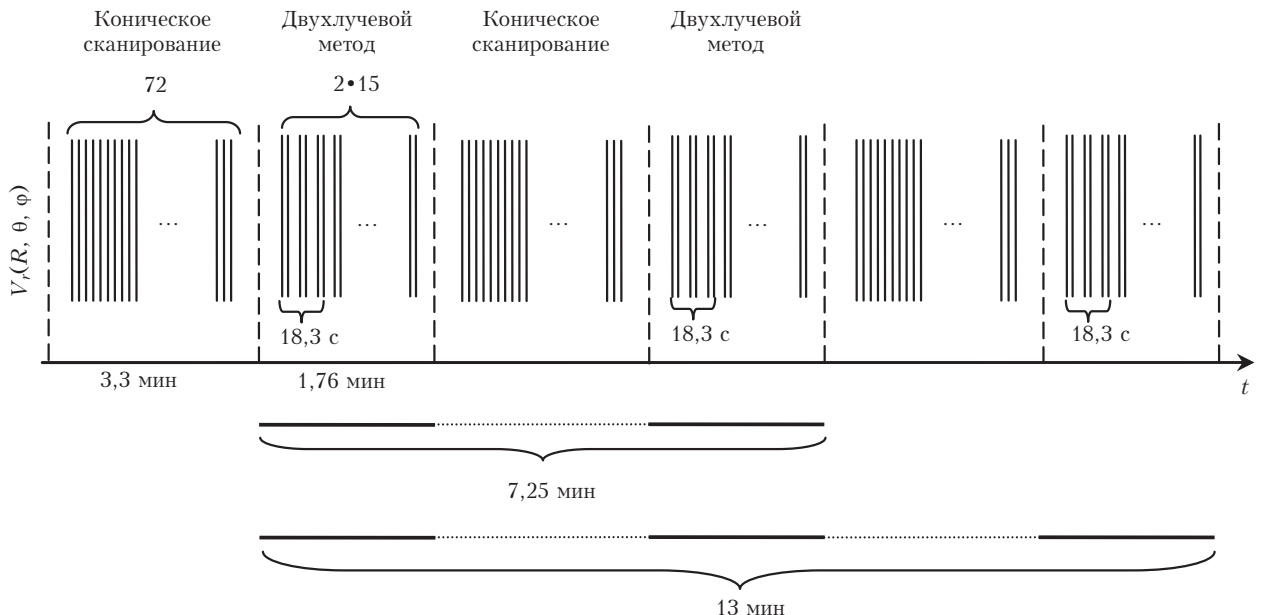


Рис. 2. Схема, иллюстрирующая методику измерений массивов радиальных скоростей с помощью импульсного когерентного доплеровского лидара

С помощью простых геометрических построений можно показать, что угол направления ветра $\phi(h)$ определяется формулой

$$\phi(h) = \operatorname{tg}^{-1} \left(\frac{V_A(h)\cos\theta_B - V_B(h)\cos\theta_A}{V_B(h)\sin\theta_A - V_A(h)\sin\theta_B} \right), \quad (3)$$

а горизонтальная скорость ветра $U(h)$ связана с радиальной скоростью соотношением

$$V_r(h) = U(h)(\cos\phi(h) + \pi - \theta_r), \quad (4)$$

где θ_r — азимутальный угол зондирующего пучка вдоль луча A или B .

Параметр M в выражениях (1) и (2) определяет временной интервал усреднения при получении оценок компонент V_A и V_B .

2. Результаты эксперимента

На рис. 3 и 4 представлены оценки скорости и направления ветра на высоте 38 м, рассчитанные из данных лидара и акустической метеостанции при различных временах усреднения.

Результаты, полученные для скорости и направления ветра из лидарных данных двухлучевым методом и данных акустического анемометра при 18,3-секундном усреднении в обоих случаях, показаны на рис. 3, *a* и 4, *a*. Оценки скорости и направления ветра, рассчитанные из тех же данных измерений при 1,76-минутном усреднении лидарных данных и 2-минутном усреднении акустических данных, представлены на рис. 3, *б* и 4, *б*; здесь же приведены оценки скорости и направления ветра, полученные из лидарных данных при кони-

ческом сканировании за время полного оборота зондирующего пучка вокруг вертикальной оси в течение 3,3 мин. На рис. 3, *в* и 4, *в* показаны скорость и направление ветра, оцениваемые из данных лидарных измерений двухлучевым методом при времени усреднения 7,25 и 13 мин в сравнении с данными метеостанции при 10-минутном усреднении.

Из рис. 3 и 4 видно, что оценки вектора скорости, получаемые из лидарных данных с помощью двухлучевого метода, хорошо согласуются с результатами измерений акустической метеостанции при временах усреднения 2 и 10 мин, принятые в метеорологии за стандарт. Также они согласуются с оценками вектора ветра, получаемыми из лидарных измерений с использованием конического сканирования, при котором, помимо временного усреднения турбулентных флюктуаций скорости, обусловленного переносом турбулентных вихрей ветровым потоком через объем зондирования, происходит их пространственное усреднение по окружности основания конуса сканирования [1–4].

Наибольшее число отклонений средних оценок скорости и направления ветра, восстановленных из лидарных данных двухлучевым методом, от оценок, получаемых из данных акустической метеостанции и лидарных данных с использованием конического сканирования, наблюдается в промежуток времени от 12:00 до 20:00, когда, как следует из рис. 3 и 4, скорость и направление ветрового потока эпизодически изменялись в больших пределах, что свидетельствует о сильной крупномасштабной турбулентности. Наличие крупномасштабных движений воздушных масс не позволяет достаточно точно оценивать компоненты V_A и V_B при относительно небольших временах усреднения.

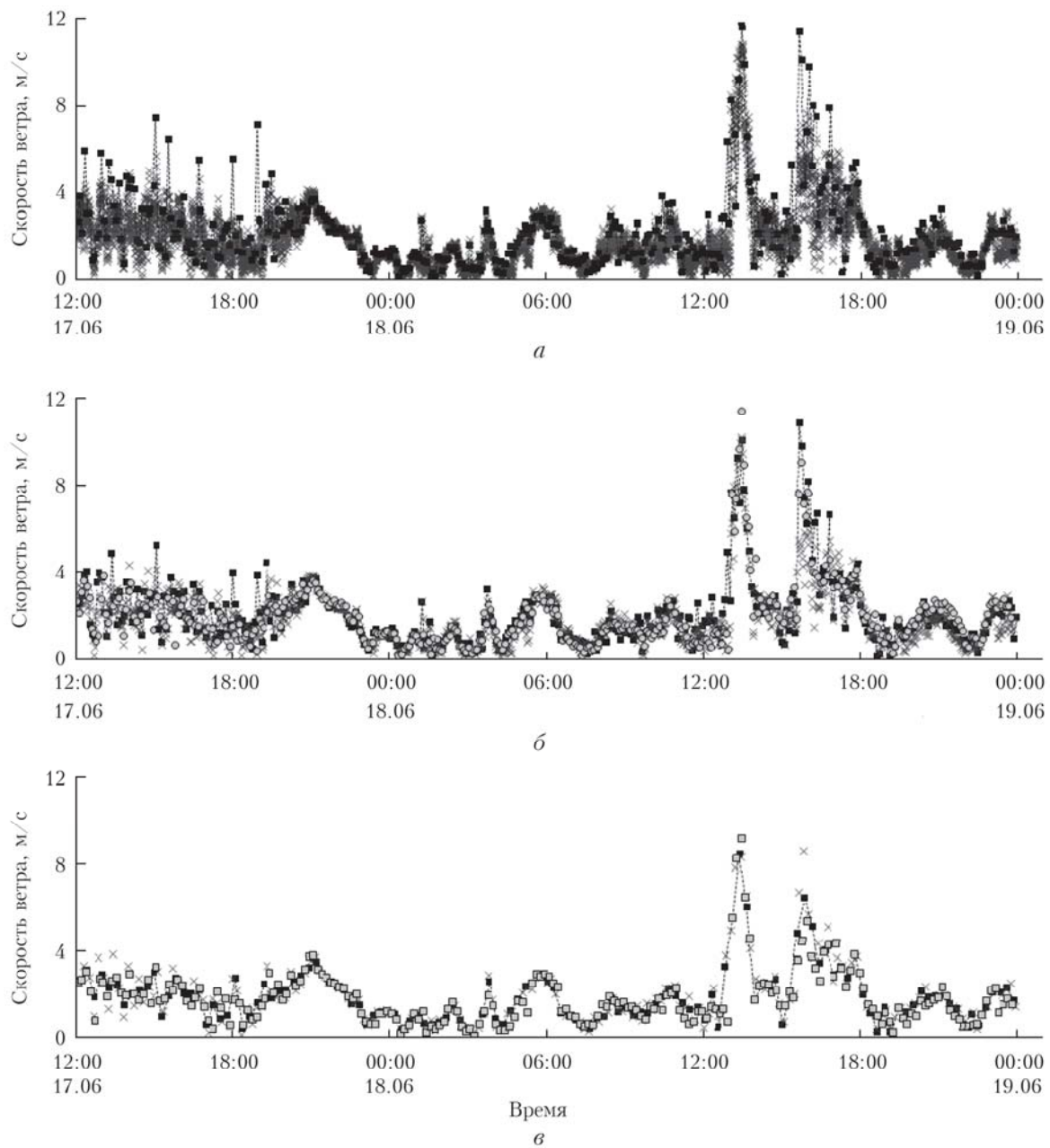


Рис. 3. Скорость ветра, получаемая из лидарных данных, в сравнении с данными акустической метеостанции: \times — среднее значение скорости из данных измерений акустической метеостанцией; ■ и □ — оценки, получаемые с помощью двухлучевого метода; ○ — оценки, получаемые с помощью конического сканирования: (а) — значения при 18,3-секундном усреднении; (б) — данные двухлучевого метода при 1,76-минутном усреднении, метеостанции — при 2-минутном, коническое сканирование в течении 3,3 мин; (в) — данные метеостанции при 10-минутном усреднении, двухлучевого метода — при усреднении за 7,25 и 13 мин

На рис. 5 и 6 с использованием значений, представленных на рис. 3 и 4, построены графики сравнения одновременных оценок скорости и угла направления ветра, рассчитанных из данных измерений лидаром с использованием двухлучевого метода и данных акустической метеостанции. Из графиков следует, что если время усреднения измеряемых лидаром компонент V_A и V_B больше 10 мин, то оценки скорости и угла направления ветра, по-

лучаемые с помощью двухлучевого метода, хорошо согласуются с данными измерений метеостанции и находятся в слабой зависимости от крупномасштабного турбулентного движения воздушных масс.

На рис. 7 и 8 приведены высотные профили скорости и направления ветра, полученные из лидарных измерений с помощью двухлучевого метода при времени усреднения, равном 1,76 мин, и при использовании конического сканирования зондирующими пучком.

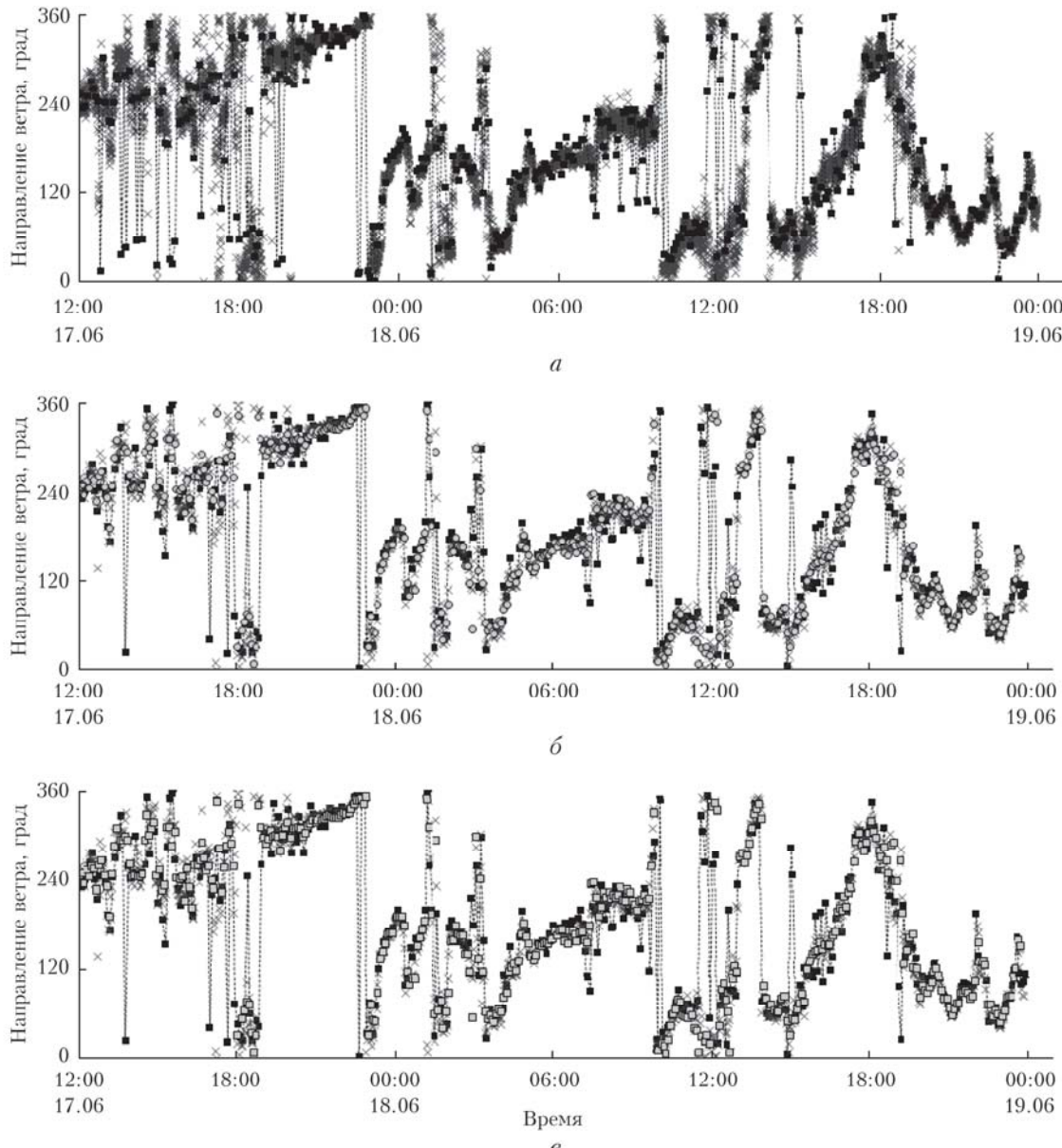


Рис. 4. Угол направления ветра, рассчитываемый из лидарных данных, в сравнении с данными акустической метеостанции (обозначения аналогичны рис. 3)



Рис. 5. Сравнение одновременных оценок скорости ветра, полученных с помощью двухлучевого метода, и данных акустической метеостанции на одной высоте при усреднении за 18,3 с (а); за 1,76 мин для двухлучевого метода и 2 мин для метеоданных (б); за 13 мин для двухлучевого метода и 10 мин для метеоданных (в)

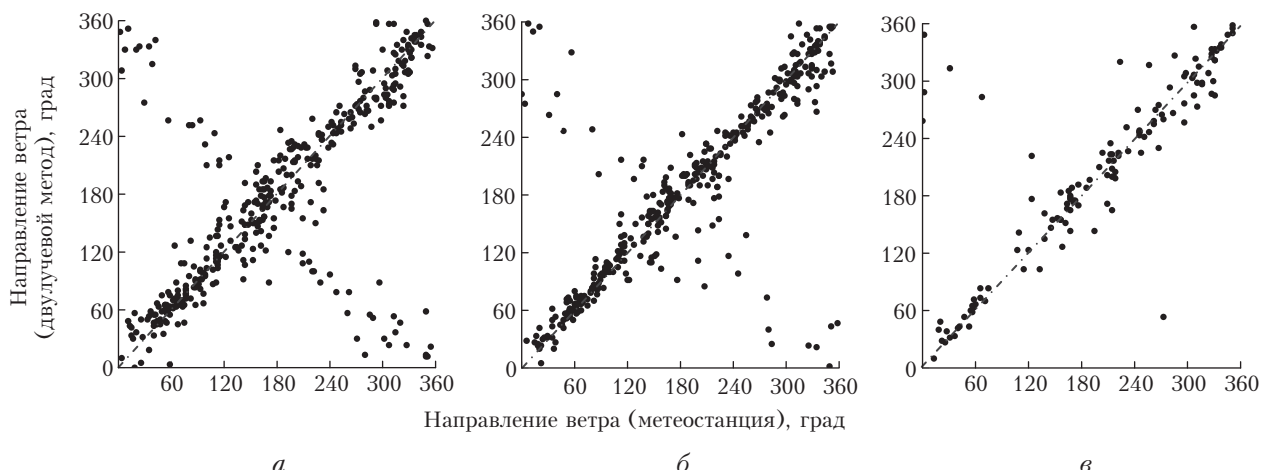


Рис. 6. Сравнение одновременных оценок угла направления ветра, полученных с помощью двухлучевого метода, и данных акустической метеостанции на одной высоте ((*a*), (*b*), (*c*) аналогично рис. 5)

Из рис. 7 и 8 видно, что пространственно-временные распределения скорости и угла направления ветра в обоих случаях имеют одинаковую структуру, но, как и должно быть, вследствие дополнительного пространственного усреднения при коническом сканировании они более сглажены.

Заключение

Представленные результаты экспериментального сравнения оценок скорости и направления ветра из данных лидарных измерений и акустической метеостанции иллюстрируют работоспособность двухлучевого метода. Этот метод может применяться для измерения вектора скорости ветра при малых значениях угла места, вплоть до горизонтальных атмосферных трасс, когда измерения с помощью конического сканирования зондирующими пучком невозможны. При использовании данного метода наличие крупномасштабной ветровой турбулентности ограничивает точность измерений. Для определения уровня ошибки вектора скорости ветра и выбора оптимальных параметров измерений импульсным когерентным доплеровским лидаром при наличии сильной крупномасштабной ветровой турбулентности необходимо проведение дальнейших численных и экспериментальных исследований.

Использование двухлучевого метода расширяет возможности применения доплеровского лидара Stream Line в изучении особенностей движений воздушных масс в приземном слое атмосферы.

Работа выполнена при финансовой поддержке РФФИ, проект № 16-42-700072.

1. Банах В.А., Смалихо И.Н. Когерентные доплеровские ветровые лидары в турбулентной атмосфере. Томск: Изд-во ИОА СО РАН, 2013. 304 с.
2. Smalikho I.N. Techniques of wind vector estimation from data measured with a scanning coherent Doppler lidar // J. Atmos. Ocean. Technol. 2003. V. 20, N 2. P. 276–291.
3. Банах В.А., Брюэр А., Пичугина Е.Л., Смалихо И.Н. Измерения скорости и направления ветра когерентным

доплеровским лидаром в условиях слабого эхосигнала // Оптика атмосф. и океана. 2010. Т. 23, № 5. С. 333–340.

4. Банах В.А., Смалихо И.Н., Фалиц А.В., Белан Б.Д., Аршинов М.Ю., Антохин П.Н. Совместные радиозондовые и доплеровские лидарные измерения ветра в пограничном слое атмосферы // Оптика атмосф. и океана. 2014. Т. 27, № 10. С. 911–916; Banakh V.A., Smalikho I.N., Falits A.V., Belan B.D., Arshinov M.Yu., Antokhin P.N. Joint radiosonde and Doppler lidar measurements of wind in the atmospheric boundary layer // Atmos. Ocean. Opt. 2015. V. 28, N 2. P. 185–191.
5. Banakh V.A., Smalikho I.N., Rahm S. Estimation of the refractive index structure characteristic of air from coherent Doppler wind lidar data // Opt. Lett. 2014. V. 39, N 5. P. 4321–4324.
6. Wood C.R., Pauscher L., Ward H.C., Kotthaus S., Barlow J.F., Gouvea M., Lane S.E., Grimmond C.S.B. Wind observations above an urban river using a new lidar technique, scintillometry and anemometry // Sci. Total Environ. 2013. V. 442, N 1. P. 527–533.
7. Lane S.E., Barlow J.F., Wood C.R. An assessment of a three-beam Doppler lidar wind profiling method for use in urban areas // J. Wind Eng. Ind. Aerod. 2013. V. 119, N 8. P. 53–59.
8. Смалихо И.Н., Банах В.А., Фалиц А.В., Руди Ю.А. Определение скорости диссипации энергии турбулентности из данных, измеренных лидаром «Stream Line» в приземном слое атмосферы // Оптика атмосф. и океана. 2015. Т. 28, № 10. С. 901–905.
9. Коханенко Г.П., Балин Ю.С., Клемашева М.Г., Пеннер И.Э., Самойлова С.В., Терпугова С.А., Банах В.А., Смалихо И.Н., Фалиц А.В., Рассказчикова Т.М., Антохин П.Н., Аршинов М.Ю., Белан Б.Д., Белан С.Б. Структура аэрозольных полей пограничного слоя атмосферы по данным аэрозольного и доплеровского лидаров в период прохождения атмосферных фронтов // Оптика атмосф. и океана. 2016. Т. 29, № 8. С. 679–688.
10. Банах В.А., Смалихо И.Н., Сухарев А.А., Фалиц А.В. Лидарная визуализация струйных течений и внутренних гравитационных волн в пограничном слое атмосферы // Оптика атмосф. и океана. 2016. Т. 29, № 8. С. 694–702.
11. Smalikho I.N., Banakh V.A., Holzapfel F., Rahm S. Method of radial velocities for the estimation of aircraft wake vortex parameters from data measured by coherent

- Doppler lidar // Opt. Express. 2015. V. 23, N 19. P. A1194–A1207.
12. Smalikho I.N., Banakh V.A. Estimation of aircraft wake vortex parameters from data measured with a 1.5- μ m coherent Doppler lidar // Opt. Lett. 2015. V. 40, N 14. P. 3408–3411.
13. Smalikho I.N., Banakh V.A., Pichugina Y.L., Breuer W.A., Banta R.M., Lundquist J.K., Kelley N.D. Lidar investigation of atmosphere effect on a wind turbine wake // J. Atmos. Ocean. Technol. 2013. V. 30, N 11. P. 2554–2570.
14. Смалихо И.Н., Пичугина Е.Л., Банах В.А., Брюэр А. Измерения импульсным когерентным лидаром параметров шлейфа, генерируемого ветряком при различных атмосферных условиях // Изв. вузов. Физика. 2012. Т. 55, № 8. С. 91–95.

V.A. Banakh, I.N. Smalikho, A.V. Falits, E.V. Gordeev, A.A. Sukharev. Stream Line Doppler lidar measurements of wind speed and direction with the duo-beam method in the atmospheric boundary layer.

The results of retrieval of wind speed and direction from measurements of radial velocity by a Stream Line pulsed coherent Doppler lidar using the duo-beam method and conical scanning are presented. These results are compared with data of a sonic anemometer (point sensor).

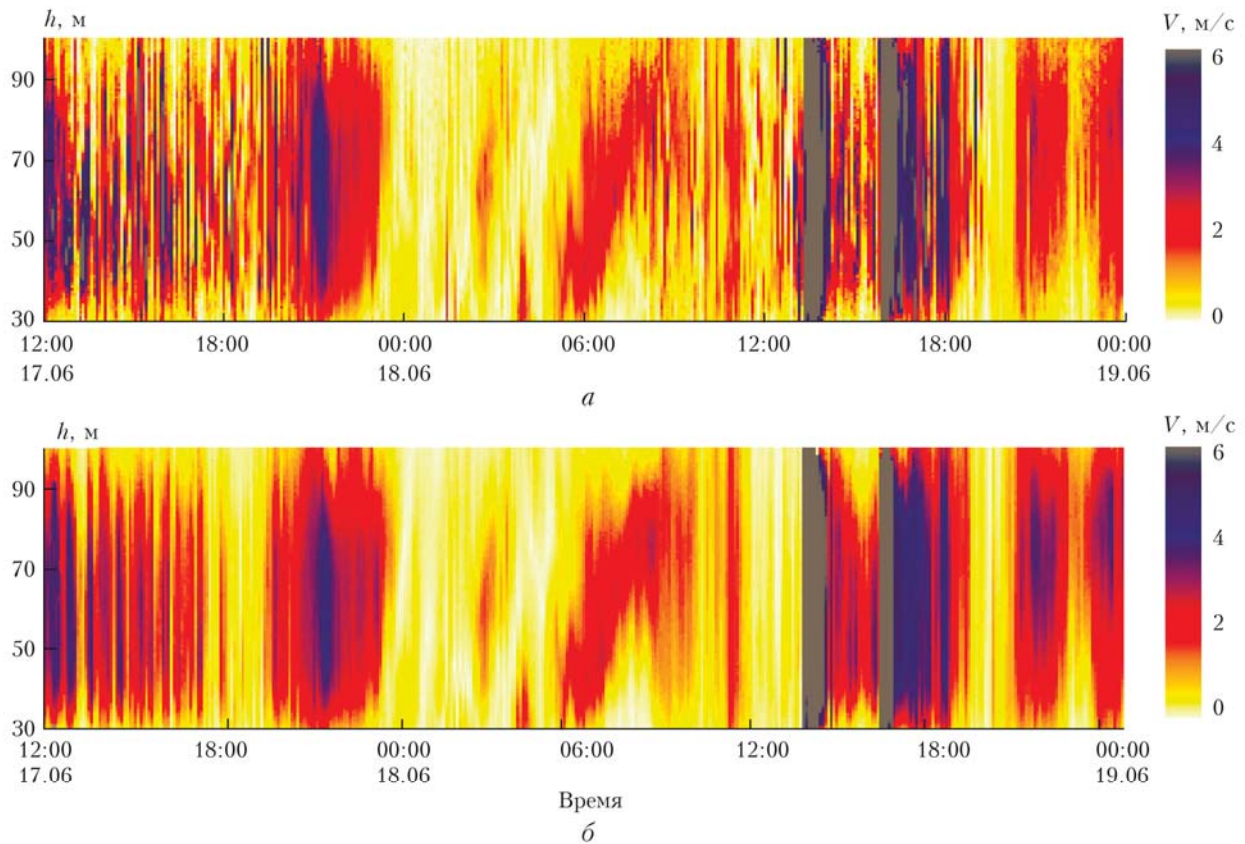


Рис. 7. Высотные профили скорости ветра: *а* – двухлучевой метод при времени усреднения 1,76 мин; *б* – коническое сканирование за 3,3 мин

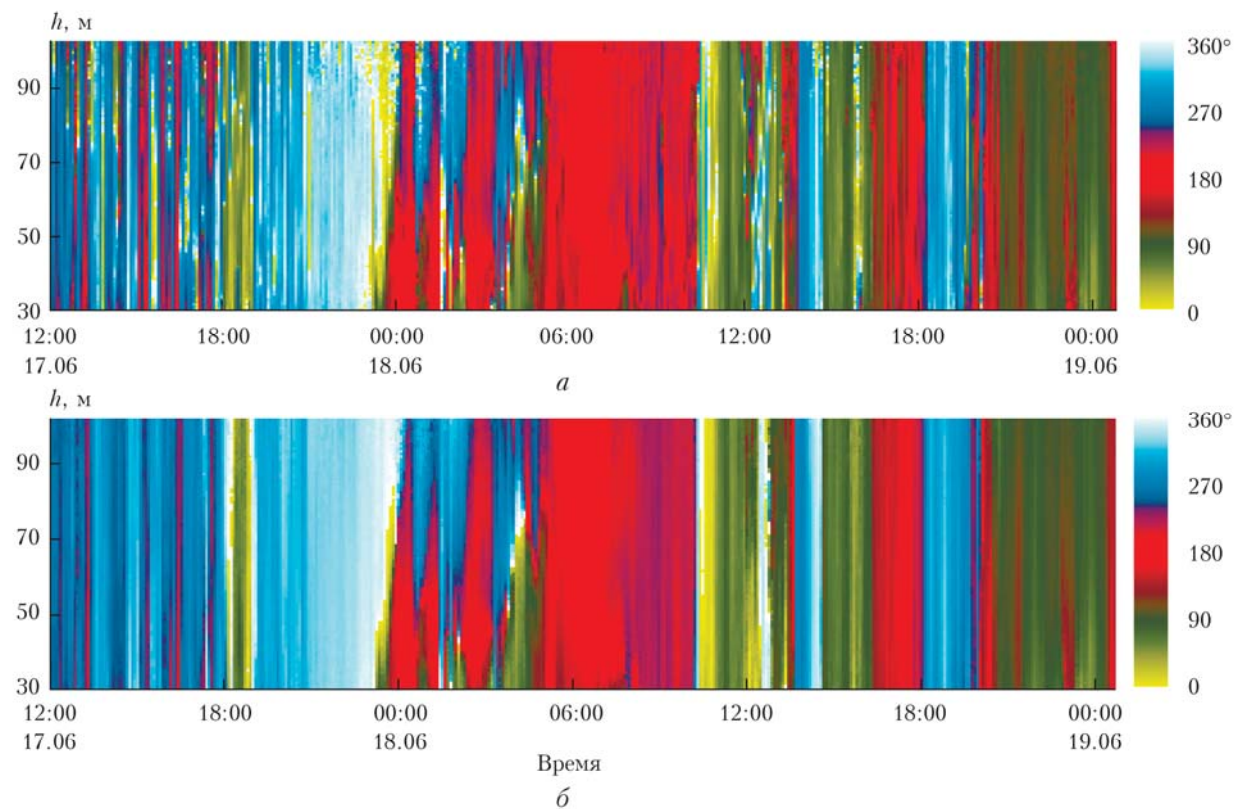


Рис. 8. Высотные профили угла направления ветра: *а* – двухлучевой метод при времени усреднения 1,76 мин; *б* – коническое сканирование за 3,3 мин